

電子飛跡検出型 広視野サフMeVガンマ線望遠鏡 SMILE-Iの観測結果と展望

高田淳史 (ISAS/JAXA)

窪秀利, 谷森達, 身内賢太郎, 西村広展, 上野一樹,
永吉勉, 折戸玲子, 岡田葉子, 服部香里, 黒澤俊介, 井田知宏,
岩城智, 株木重人, 竹田敦, 関谷洋之 (京大理)
野中直樹, 水田栄一 (ISAS/JAXA)

MeVガンマ線天文学からの要求

◆ 原子核合成

超新星残骸：放射性同位体からの放射

銀河面： ^{26}Al ・ ^{60}Fe

電子・陽電子対生成



単色光

◆ 粒子加速

ジェット (活動銀河核), ガンマ線バースト:

シンクロトロン+逆コンプトン放射



連続スペクトル

◆ 強い重力場

ブラックホール：降着円盤からの放射, π^0



連続スペクトル
+ 単色光

◆ その他

ガンマ線パルサー, 太陽フレア

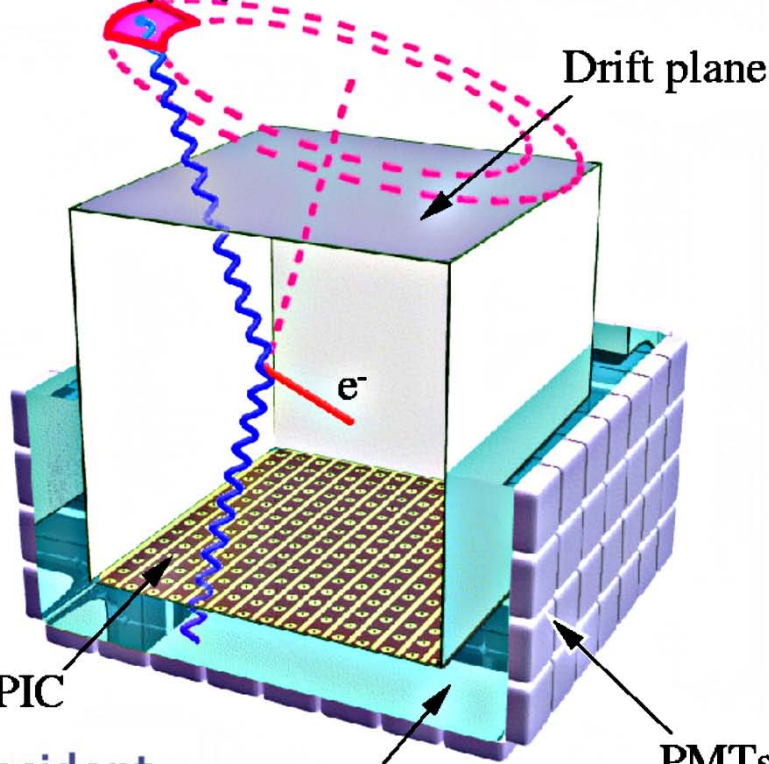
- 見つかったMeV天体は30個程度 ⇒ MeV天体を探したい
- バックグラウンドが非常に多く、観測がそれで制限される
ex. 中性子・電子や宇宙線が筐体で作るガンマ線など

次世代のMeVガンマ線望遠鏡に求められるもの

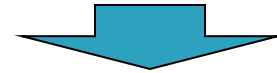
- 広帯域
- 広い視野
- バックグラウンド除去能力

電子飛跡検出型コンプトンカメラ

MeV γ -ray

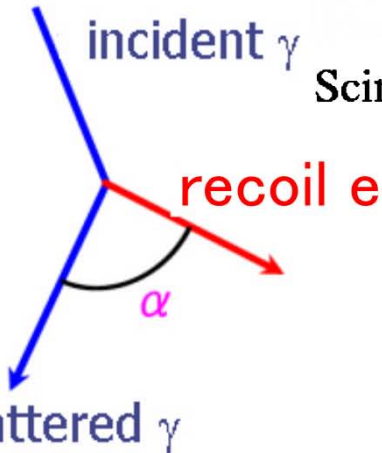


- **ガスTPC : Tracker**
反跳電子のエネルギーと飛跡を取得
- **シンチレーター : Absorber**
散乱ガンマ線のエネルギーと吸収場所を取得



光子毎にコンプトン散乱を再構成

- ▶ 1 光子 \Rightarrow 到来方向 + エネルギー
- ▶ 広い視野 ($\sim 3\text{str}$)
- ▶ **運動学を用いたbackground除去**



$$\cos \alpha_{\text{geo}} = \vec{g} \cdot \vec{e}$$

$$\cos \alpha_{\text{kin}} = \left(1 - \frac{m_e c^2}{E_\gamma} \right) \sqrt{\frac{K_e}{K_e + 2m_e c^2}}$$

g : 散乱方向の単位ベクトル
 e : 反跳方向の単位ベクトル

E_γ : 散乱ガンマ線のエネルギー
 K_e : 反跳電子の運動エネルギー
 $m_e c^2$: 電子の静止質量

Sub-MeV gamma-ray Imaging *Loaded-on-balloon Experiment*

10cm cube camera @ 三陸 (Sep. 1st 2006)

- 気球高度での動作確認
- 宇宙拡散ガンマ線・大気ガンマ線の観測
⇒ ガンマ線観測の実証
~400 photons during 3 hours
(100 keV~1MeV)

30cm cube camera @ 大樹

- かに星雲 or Cyg X-1の観測 ⇒ イメージングの実証

40cm cube camera Sub-MeV ~ MeV

- 長時間観測による天体観測
- 対生成モードの実証

50cm cube camera

- 衛星に搭載しての全天観測

SMILE-I Gondola

プラスチックシンチ

TPC

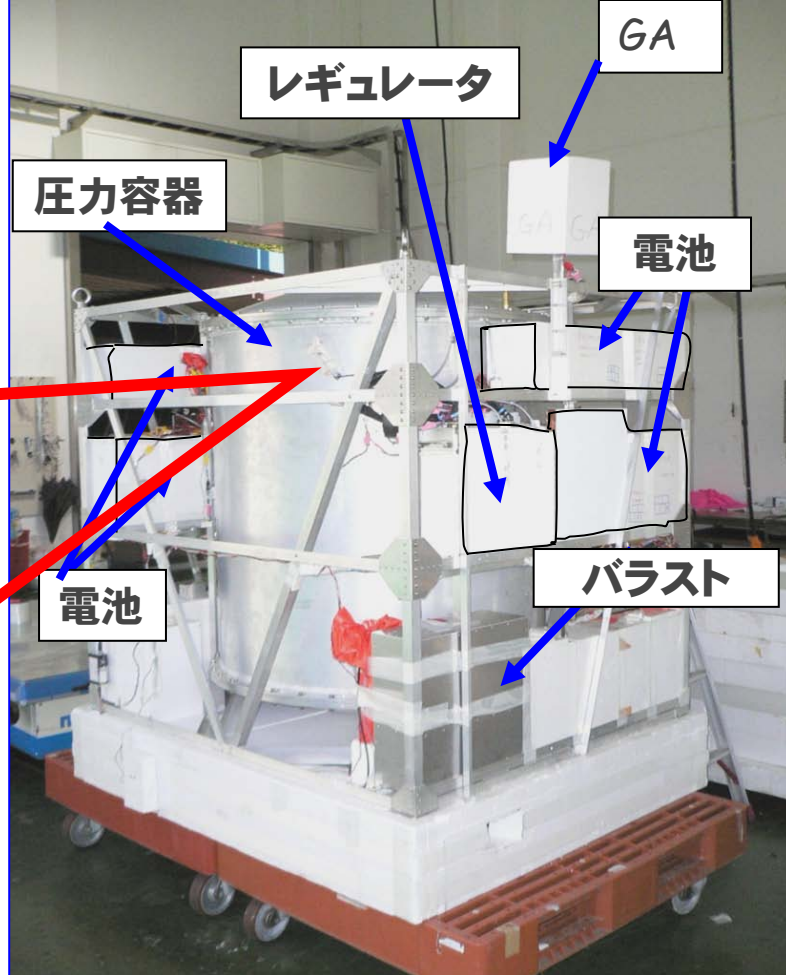
GSO:Ce

プリアンプ

NIM module
• Shaper
• DAC

FPGAエンコーダ

VME
• CPU
• ADC
• telemetry
• scaler



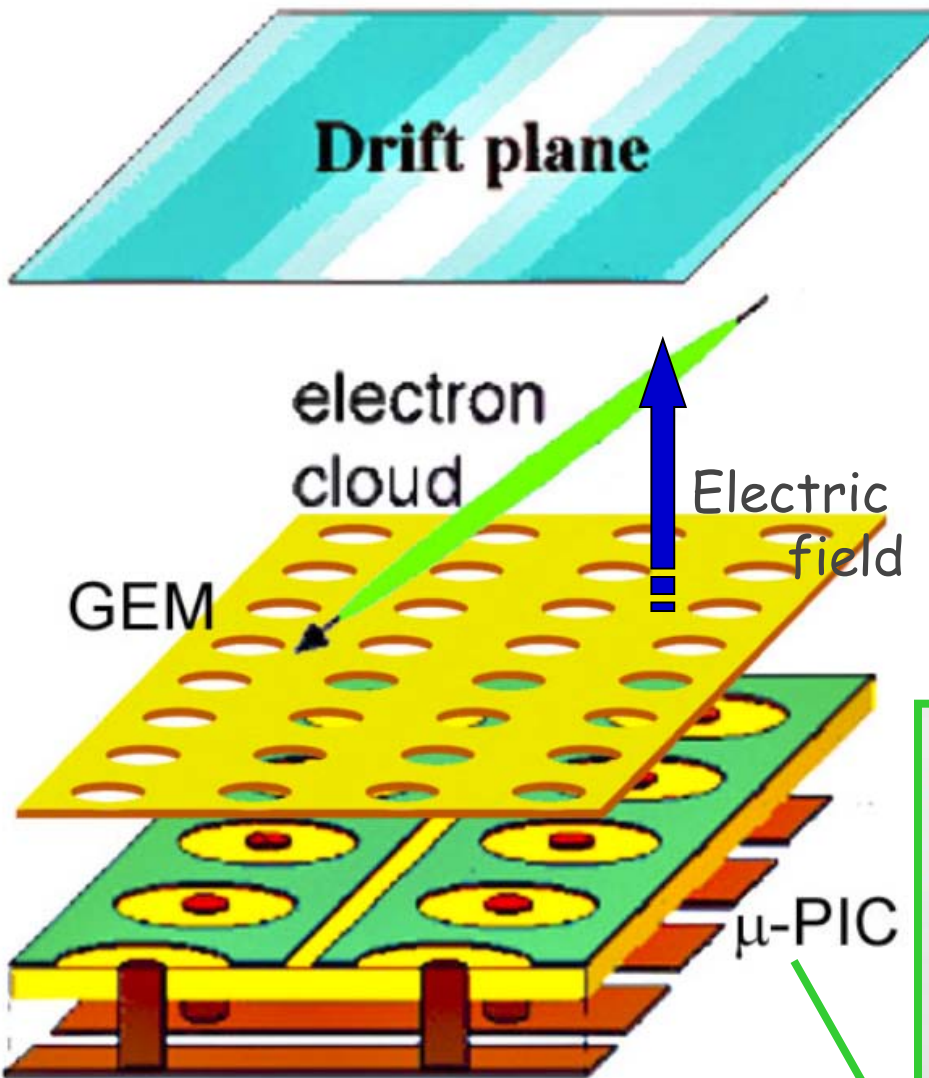
Size : 1.45×1.2×1.55m³

Weight : 397 kg

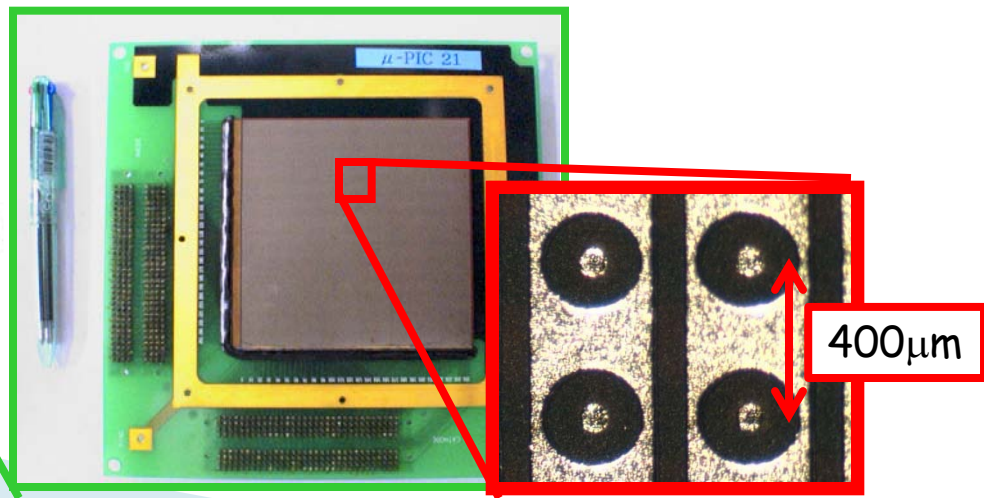
Power : ~250 W

ガス飛跡検出器

2D readout (400 μ m pitch) + Drift time (100MHz)



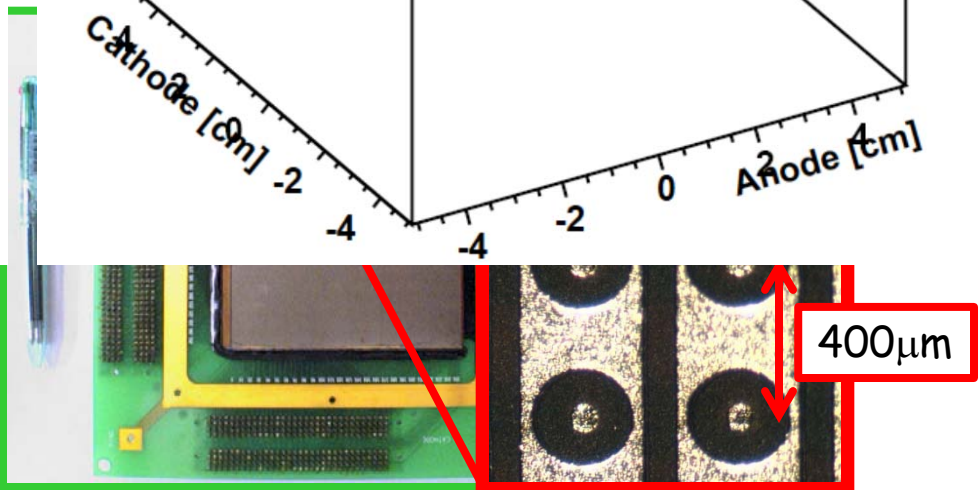
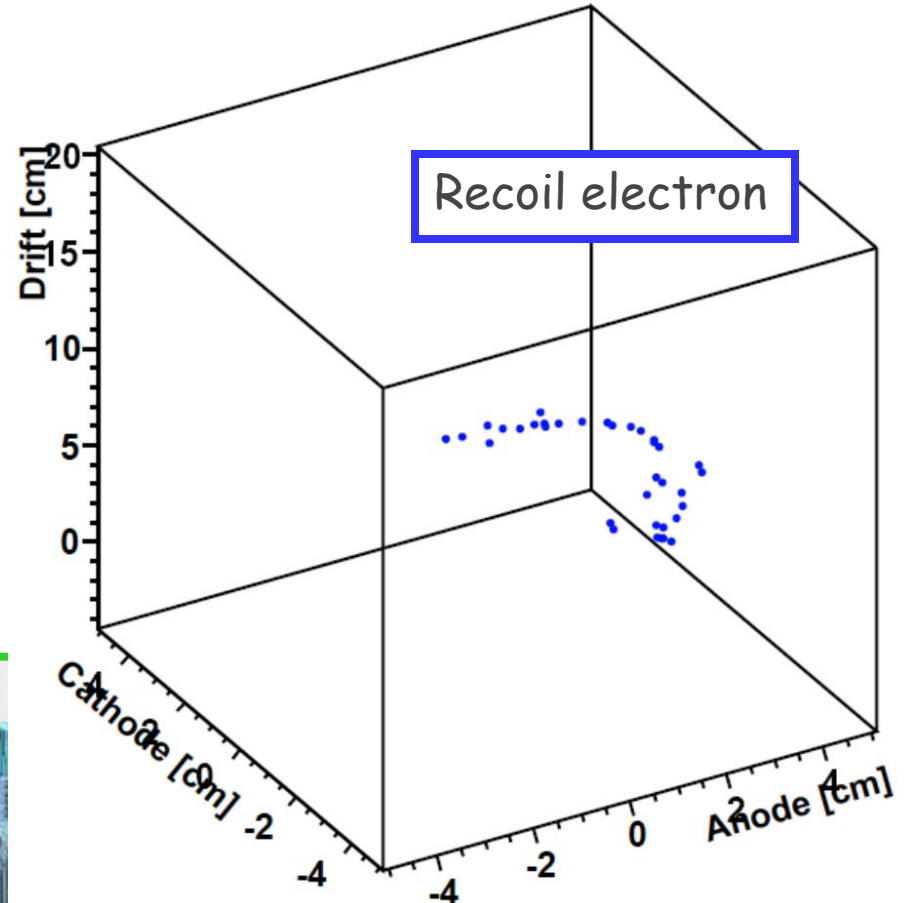
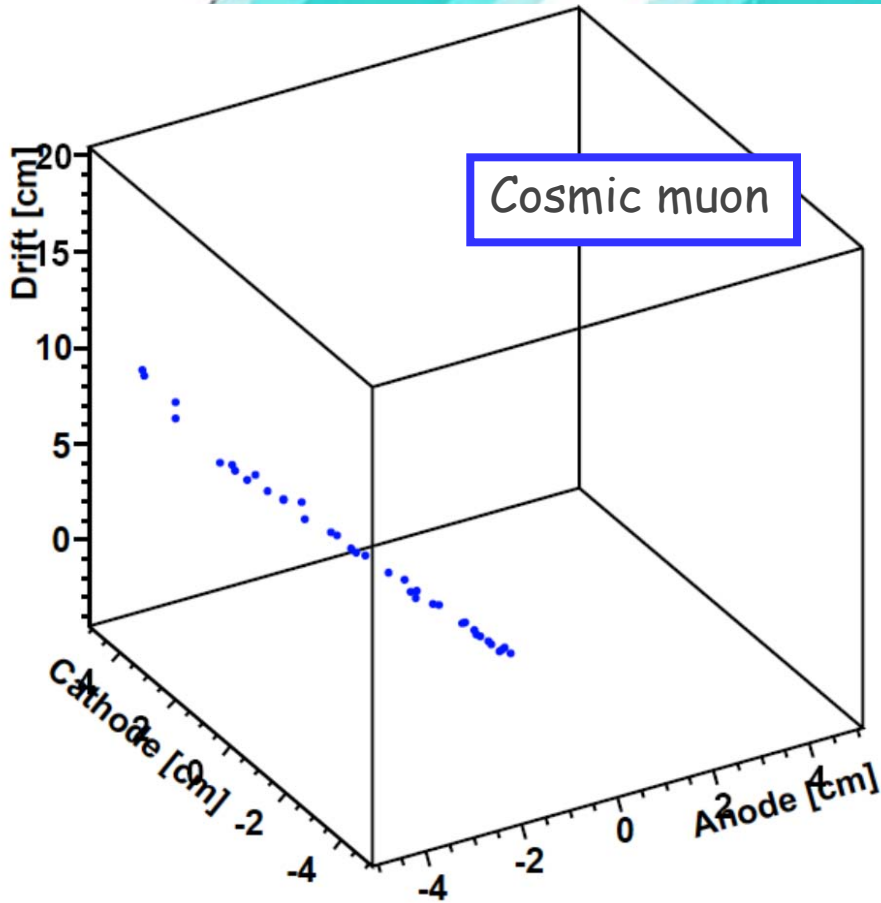
- **ガス** : Xe 80% + Ar 18% + C₂H₆ 2%
1気圧, 封じ切り
- **増幅率** : ~35000
- **ドリフト速度** ($V_d=400V/cm$) :
実測 2.5cm/ μ sec
simulation 2.48cm/ μ sec
- **大きさ** : 10×10×14 cm³
- **エネルギー分解能** :
~45% (22.2keV, FWHM)
- **空間分解能** : ~500 μ m



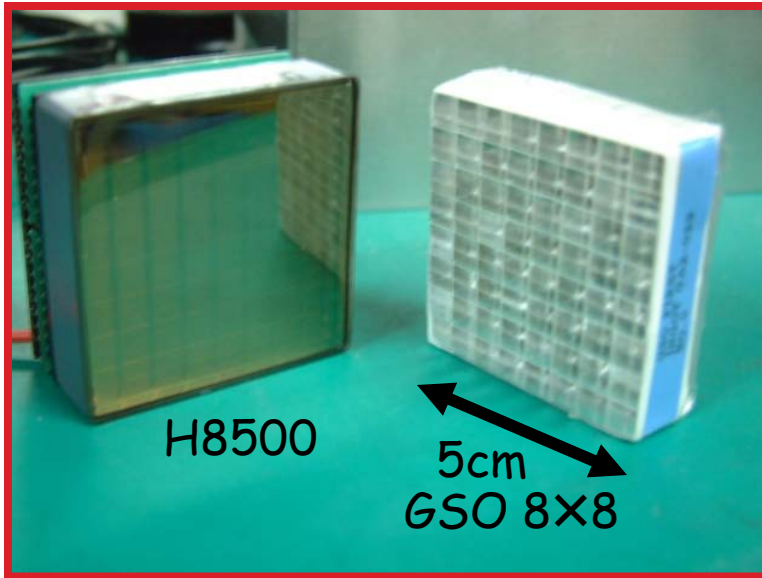
ガス飛跡検出器

2D readout (400 μ m pitch) + Drift time (100MHz)

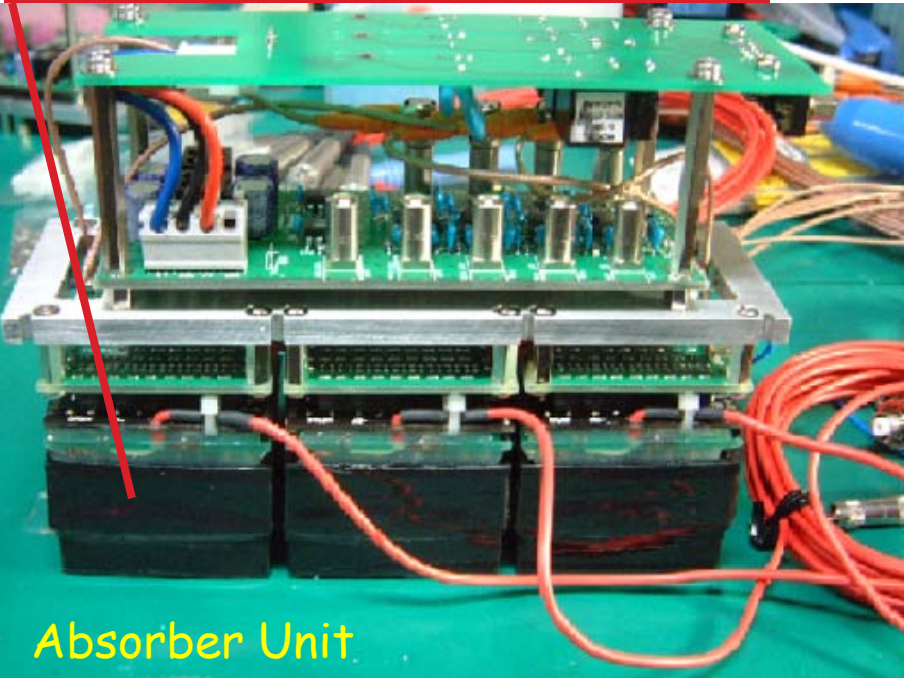
➤ ガス : Xe 80% + Ar 18% + C₂H₆ 2%



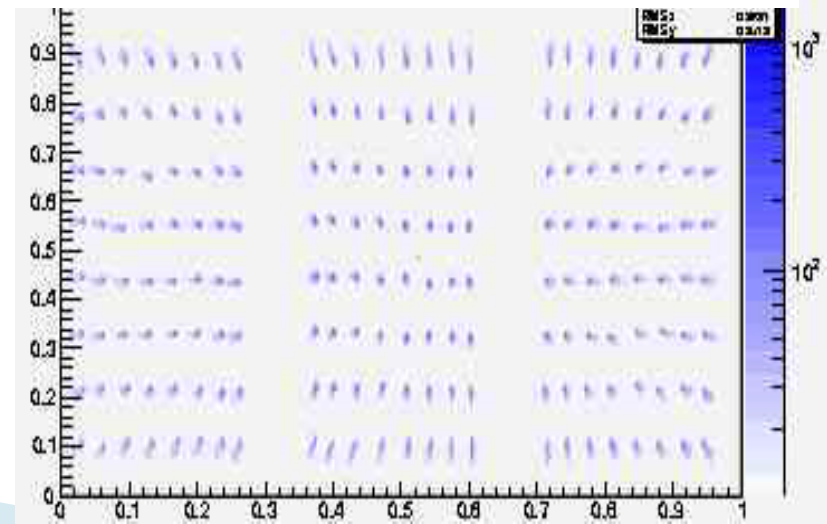
シンチレータ



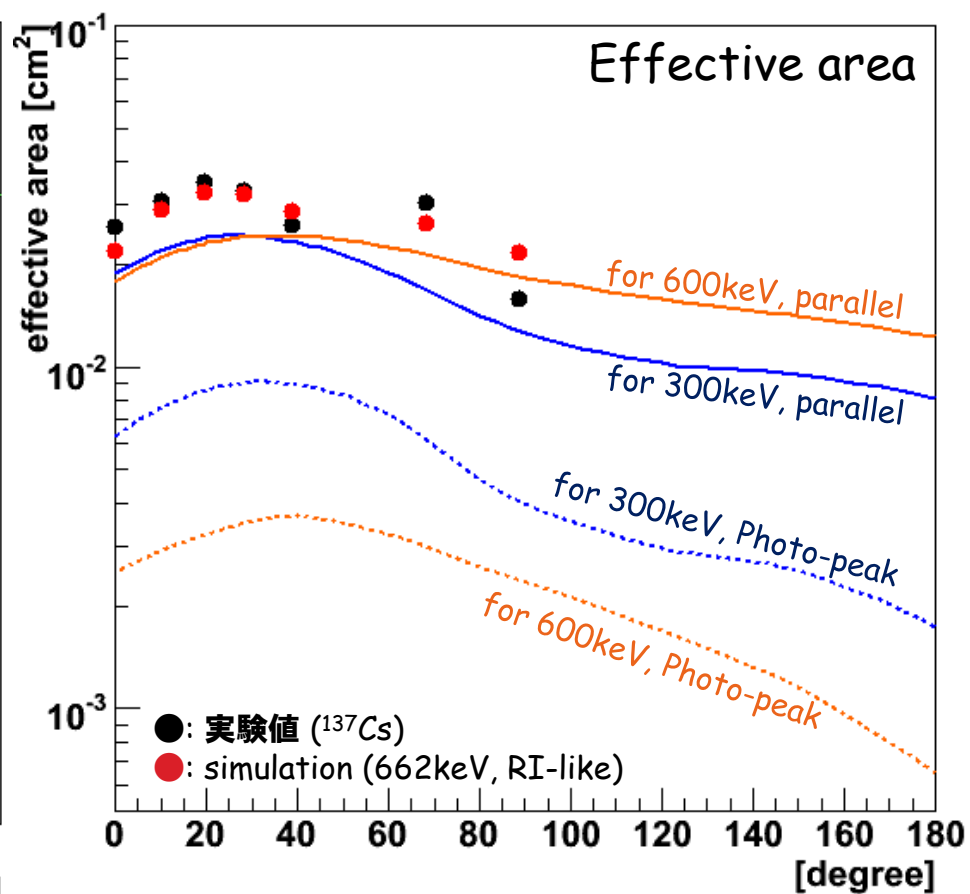
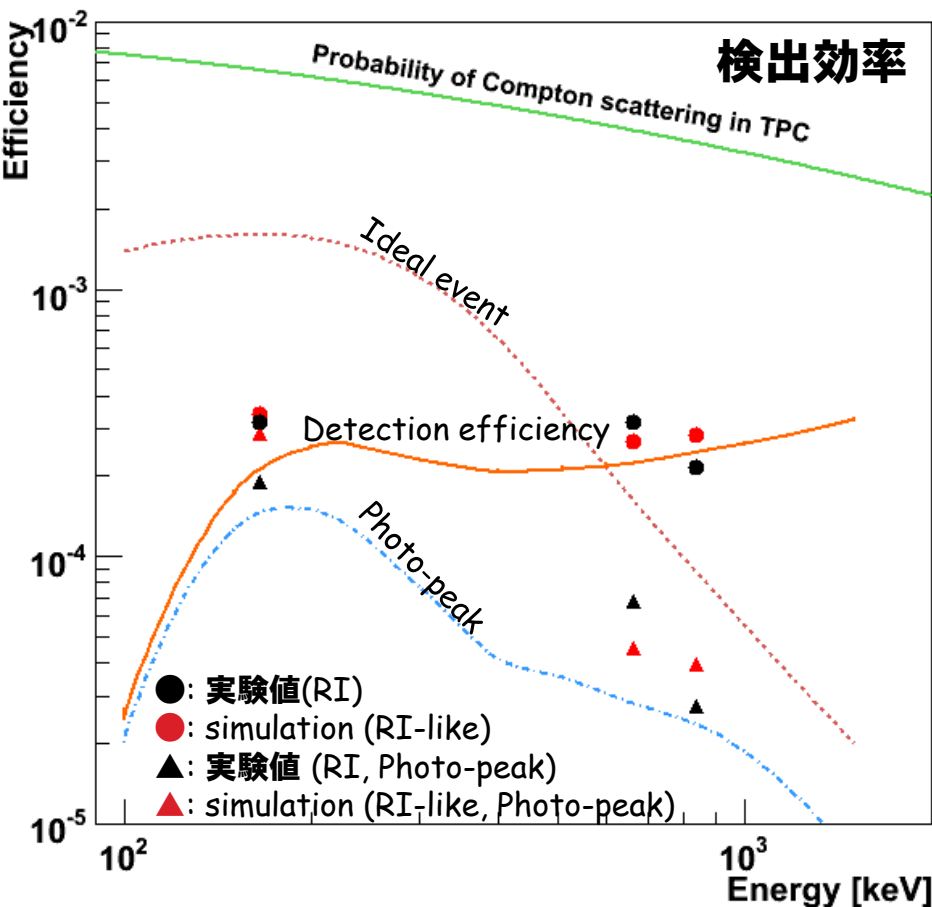
- シンチレータ : GSO(Ce)
- ピクセルサイズ : $6 \times 6 \times 13 \text{ mm}^3$
- PMT : H8500 (HPK)
- DC/HV : EMCO Q12N-5
- 192 ピクセル, PMT 3つ, DC/HV 3つ, フリアンプ 4つ, で1ユニット
- 抵抗チェーンを使用して1ユニットを4chで読み出し
- Bottom : 3×3 PMTs
- Side : 3×2 PMTs $\times 4$ } 2112 ピクセル
- エネルギー分解能 :
~11% (662keV, FWHM)



^{137}Cs Position imaging map

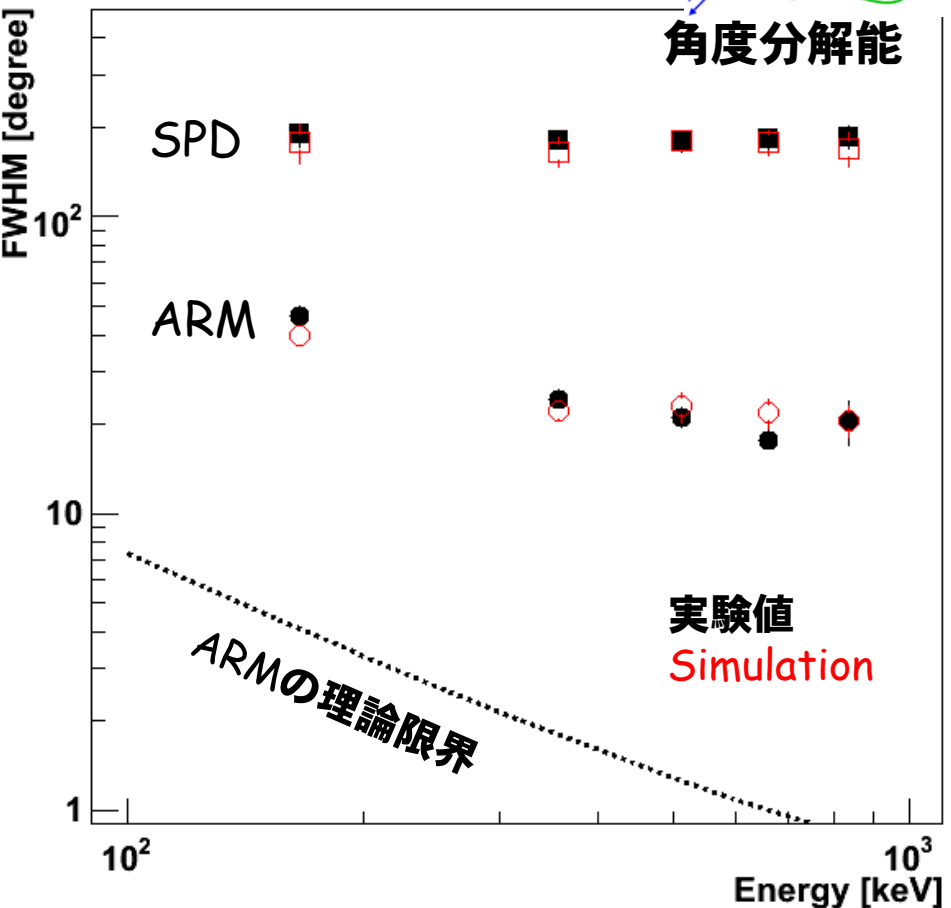
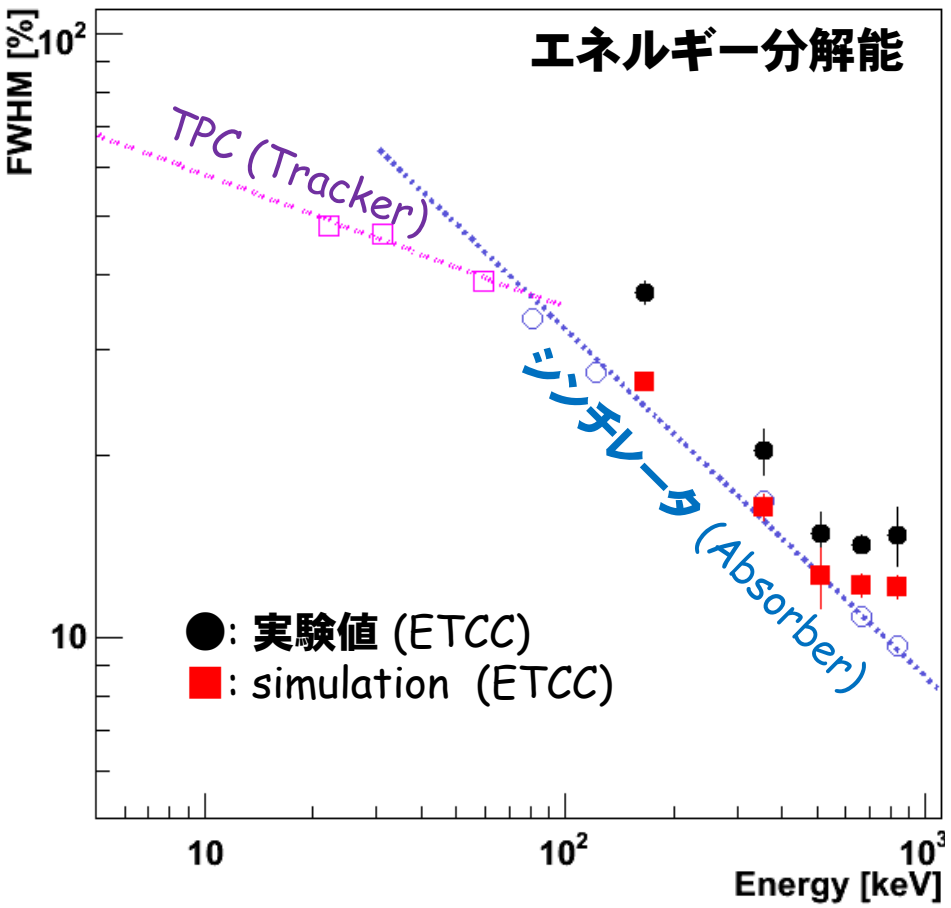
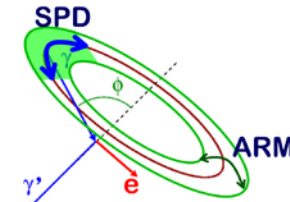


検出効率 & 有効面積



- 検出効率 : 3×10^{-4} for 150-1500keV
- 有効面積 : $2 \times 10^{-2} \text{ cm}^2$ for 150-1500keV, 0-60°
- simulationと実験値はほぼ一致
- 天頂角25°付近で有効面積は最大に ← 検出器の配置によるもの

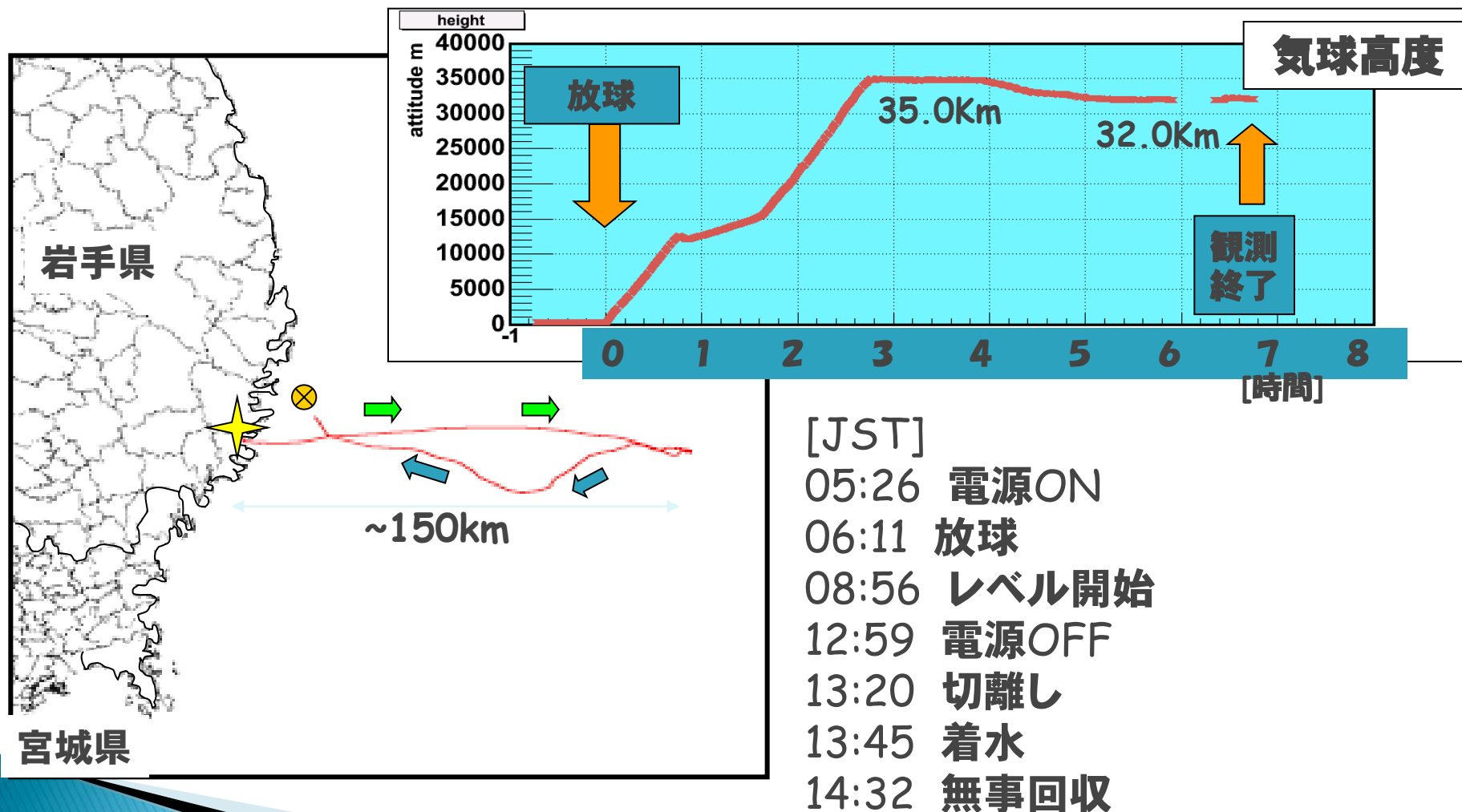
エネルギー/角度分解能



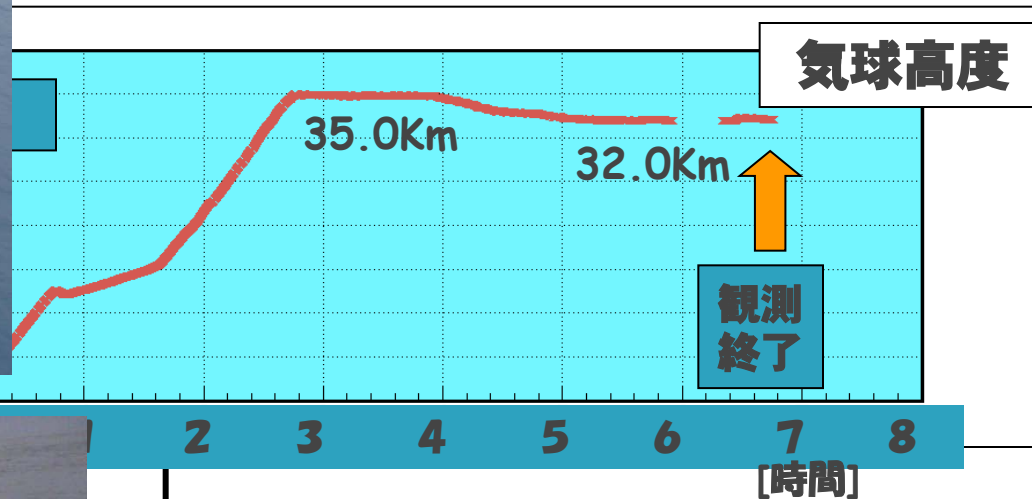
- TPC : 45% @ 22keV シンチ : 11% @ 662keV → 12% @ 662keV
- ARM 22° SPD 165° @ 662keV
- コンプトンカメラのエネルギー分解能 ≡ シンチレータのエネルギー分解能
- ARM ⇒ シンチレータのエネルギー分解能とコンプトン点の位置精度が制限
- SPD ⇒ 反跳方向の決定精度とコンプトン点の位置精度が制限

気球実験

- ▶ 三陸大気球観測所 (JAXA)
- ▶ 2006/9/1に放球

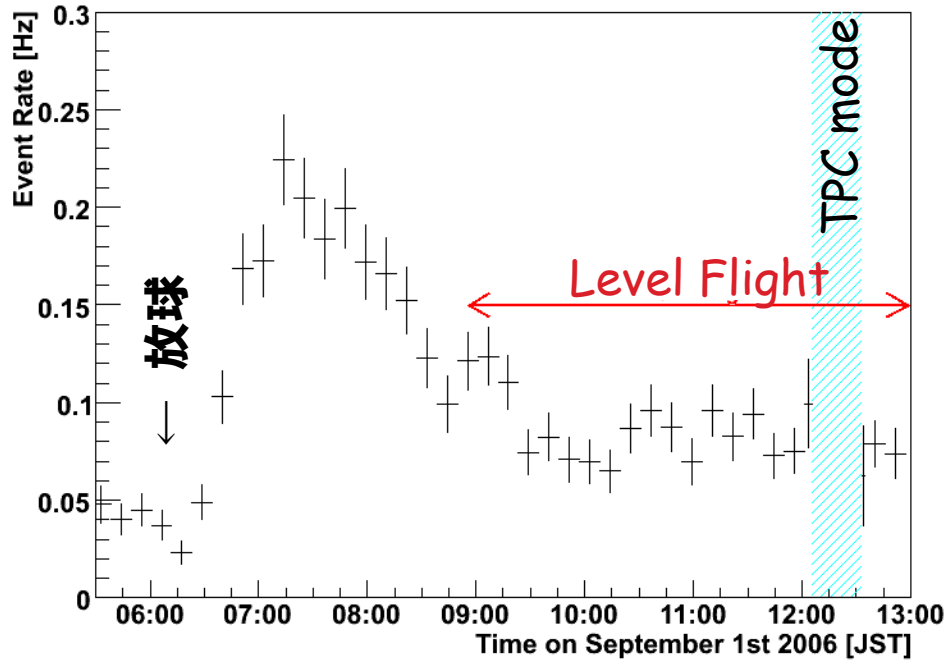


大気球観測所 (JAXA) /9/1に放球



- [JST]
- 05:26 電源ON
- 06:11 放球
- 08:56 レベル開始
- 12:59 電源OFF
- 13:20 切離し
- 13:45 着水
- 14:32 無事回収

イベントレート & スペクトル

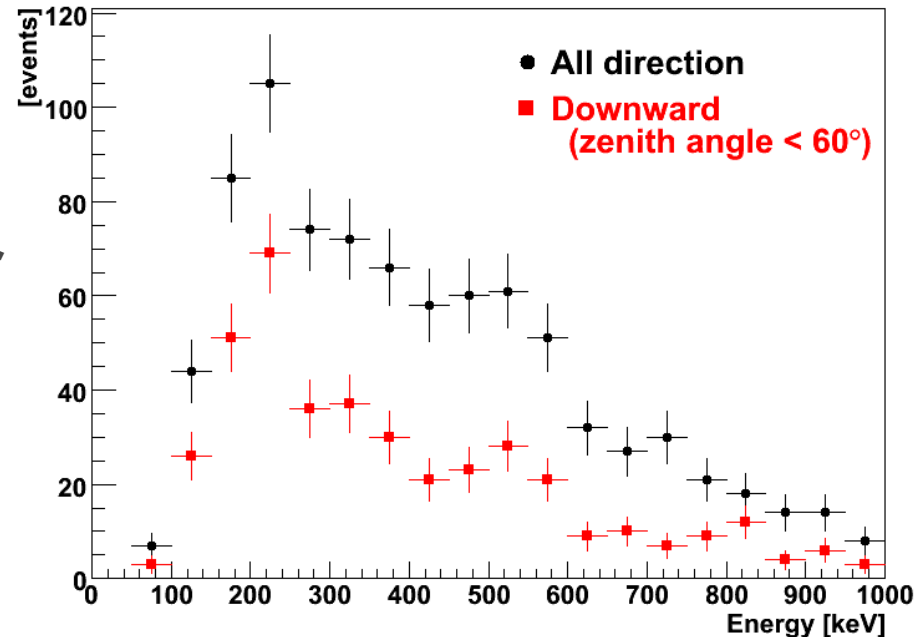


イベントレート

- 100~900 keV
- 全方向 ~2000
- 下向き(3str) ~940

Energy Spectrum

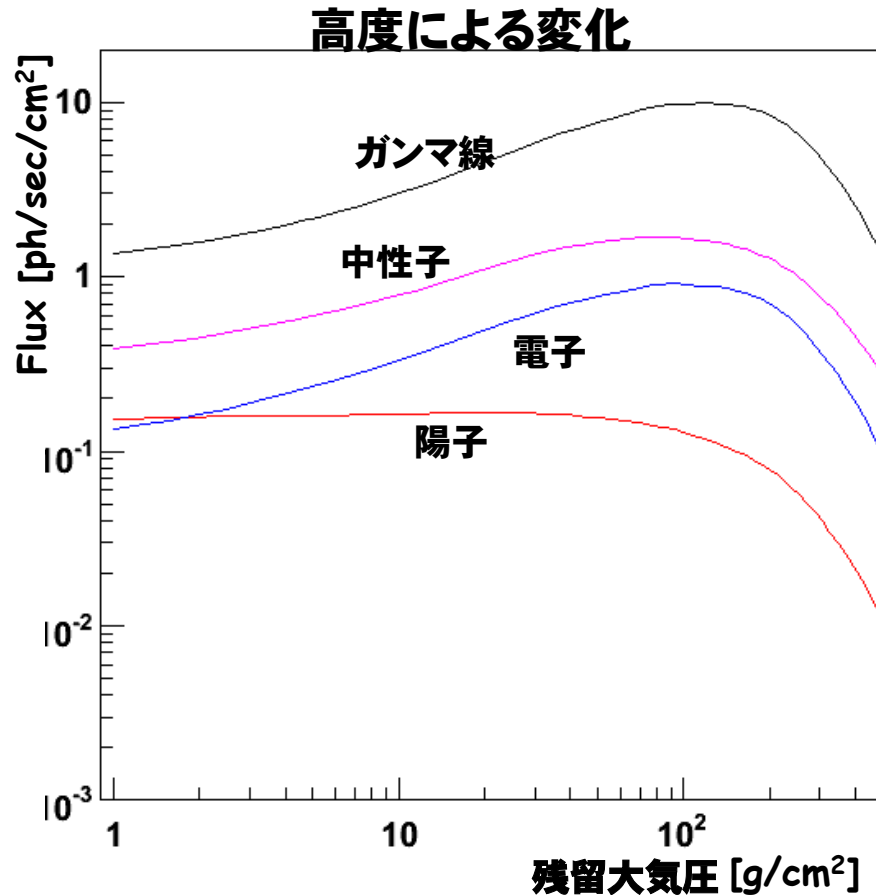
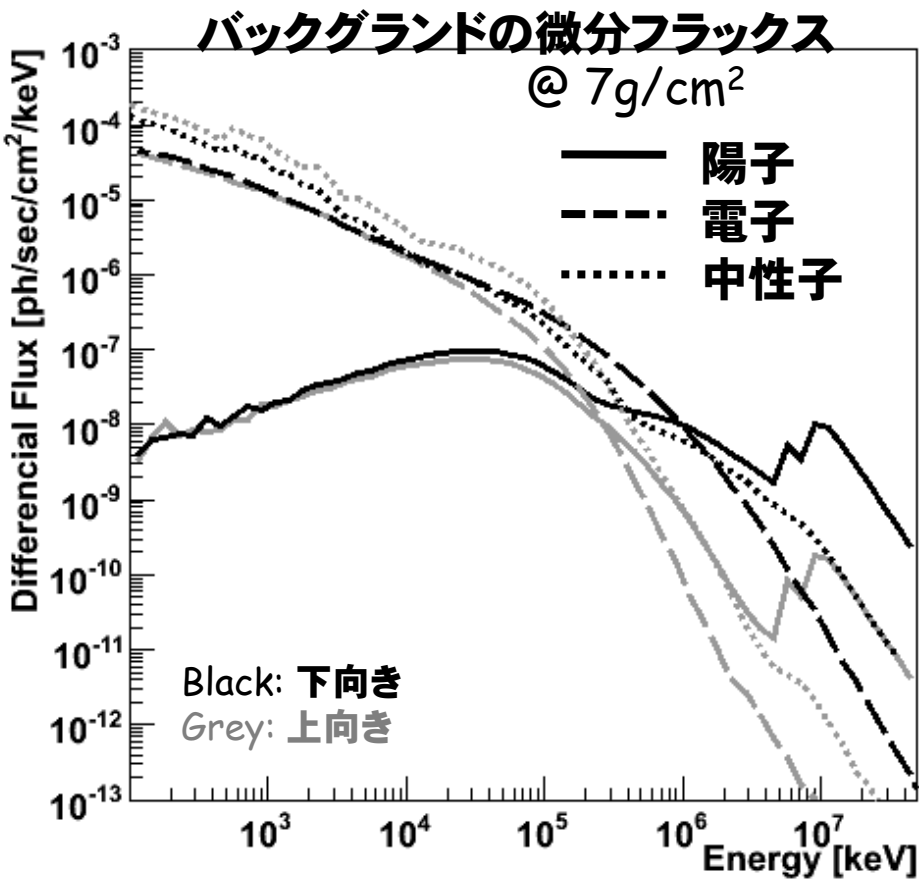
- 32~35 km レベルフライト
- 3.5 時間 (live ~3h)
- 下向き (3 str)
~420 events
GEANT4 ⇒ ~400events



QARMを用いたバックグラウンドシミュレーション

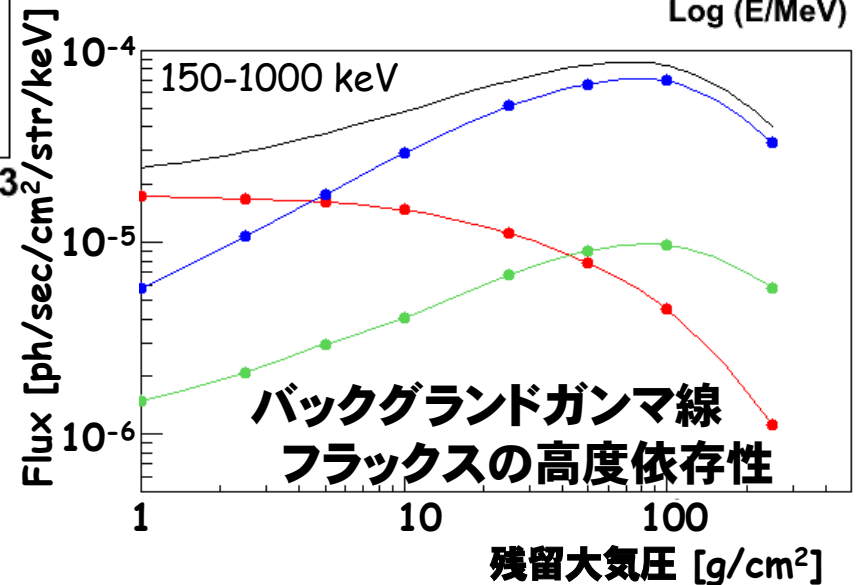
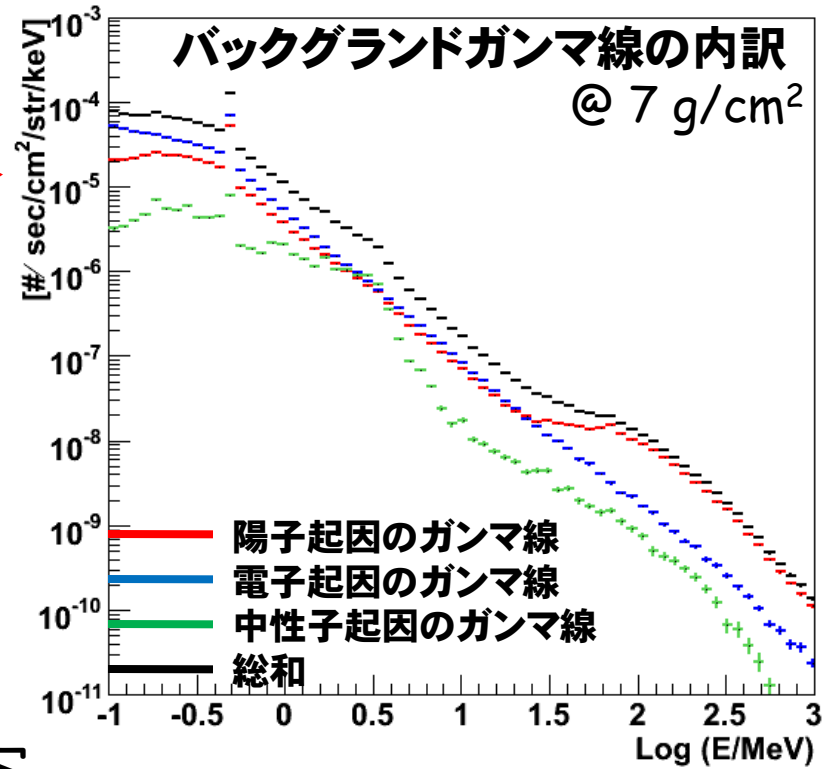
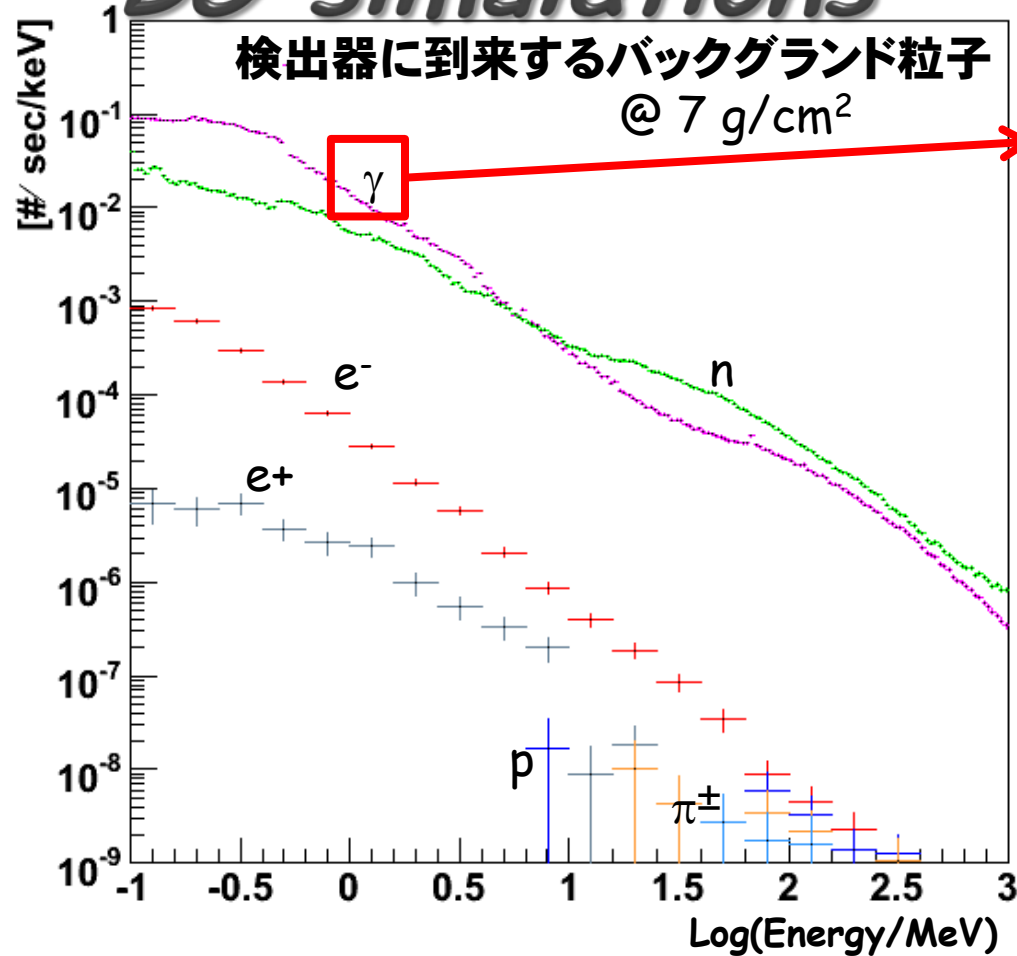
QinetiQ Atmospheric Radiation Model

<http://qarm.space.qinetiq.com>



2006/09/01, 39.16N, 141.82E,
Source: Galactic Cosmic Rays, Kp=3

BG simulations

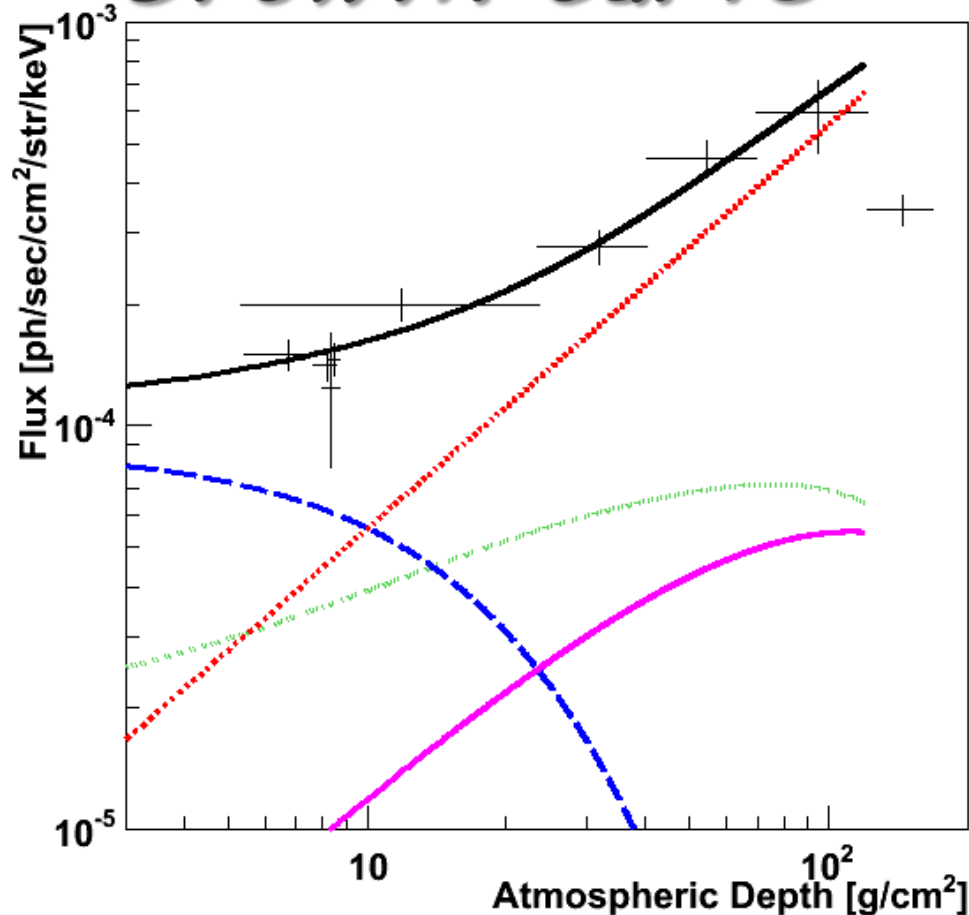


- 最も多いバックグラウンドはガンマ線
- コンプトン再構成後に残るイベント数:

| | |
|--------------|---------|
| 宇宙拡散/大気ガンマ線 | ~78% |
| バックグラウンドガンマ線 | ~20% |
| 中性子 | 1.5% |
| 荷電粒子 | < 0.25% |

Growth curve

(ガンマ線フラックスの気球高度依存性)



- 大気ガンマ線
- - - 宇宙拡散ガンマ線
- ⋯ バックグラウンドガンマ線
- 大気511keV
- 総和

➤ **宇宙成分** : $\phi_C = \phi_d + \phi_s$

• **直接光成分**

: 大気による減衰を受ける

$$\phi_d = A \times \exp(-z/\tau_{\text{tot}})$$

• **散乱光成分**

: 検出器に入る前に
大気で散乱された成分

$$\phi_s = p(E, z) \times \phi_d$$

➤ **大気成分** : ϕ_A

宇宙線と大気との相互作用により
生成されたガンマ線

残留大気圧にほぼ比例
(過去の観測から)

$$\phi_A = B \times z$$

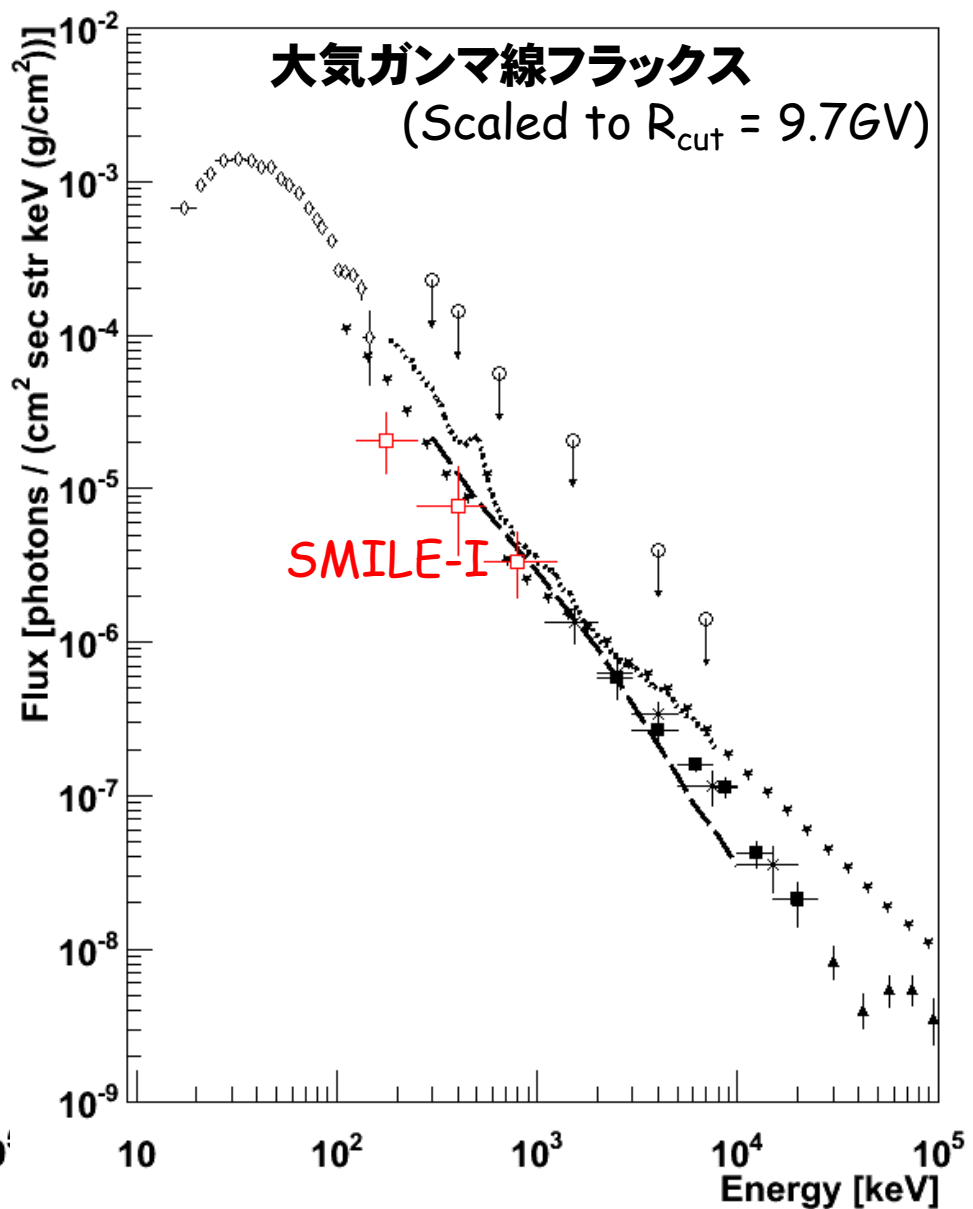
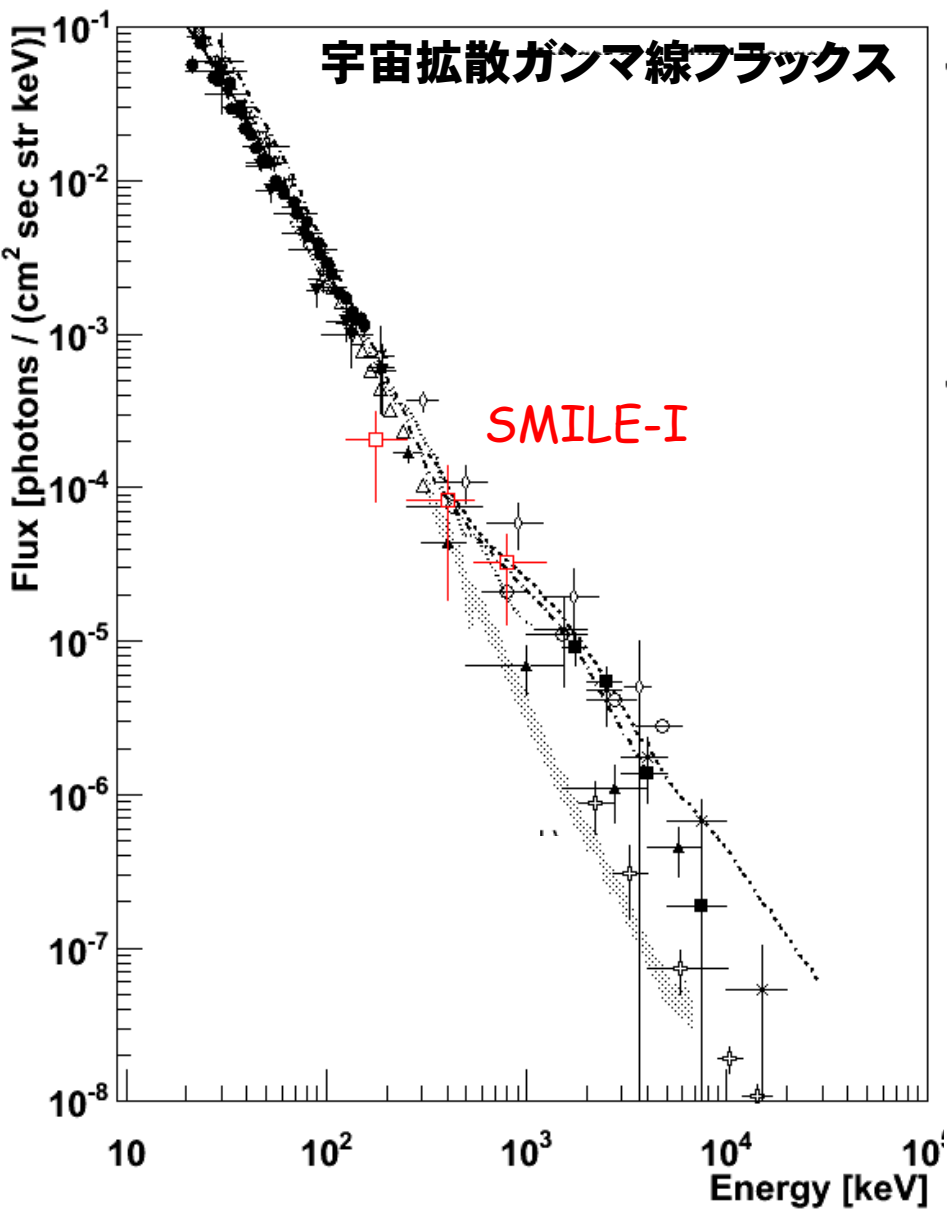
z : 残留大気圧

τ_{tot} : 平均自由行程

$p(E, z)$: 散乱補正項

A, B : Fittingパラメータ

宇宙拡散/大気ガンマ線フラックス



次の気球実験に向けて

➤ SMILE-I : 2006/9/1 放球

- 宇宙拡散/大気ガンマ線の観測
⇒ 3strもの大きい視野を丸ごと積分
- 電子飛跡検出器 : $10 \times 10 \times 15 \text{ cm}^3$, Xe+Ar 1atm
- シンチレータ : $15 \times 15 \times 1.3 \text{ cm}^3$ @ Bottom
 $15 \times 10 \times 1.3 \text{ cm}^3 \times 4$ @ Side



有効面積 : $\sim 2 \times 10^{-2} \text{ cm}^2$

➤ SMILE-II

- 明るい天体の観測 (かに星雲 or Cyg X-1)
3.0 時間, 40 km



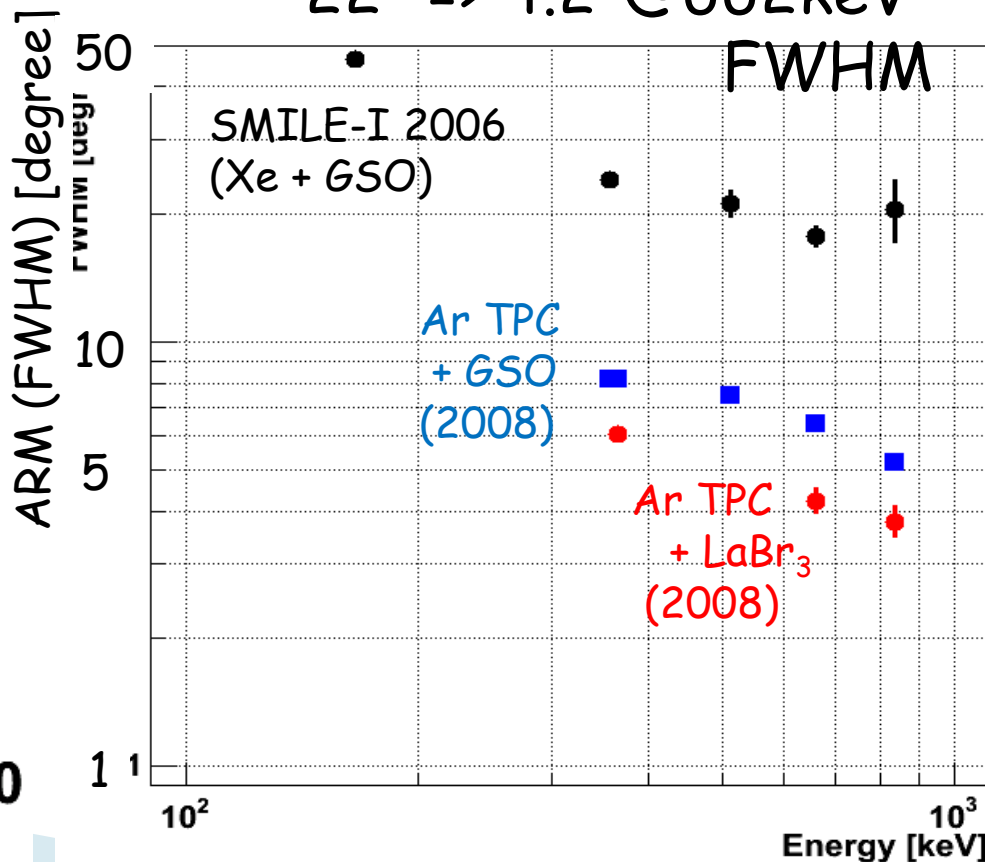
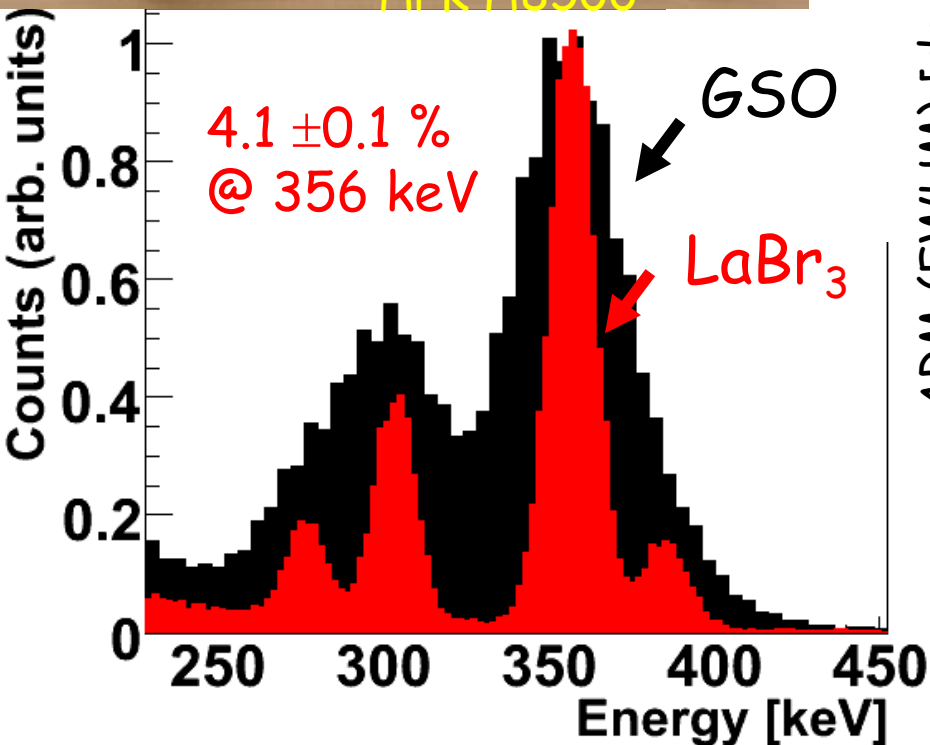
必要な有効面積 : $\sim 1 \text{ cm}^2$

- 電子飛跡検出器 : $30 \times 30 \times 30 \text{ cm}^3$, Ar/CF₄ 2atm
- シンチレータ : $30 \times 30 \times 1.3 \text{ cm}^3$ @ Bottom
 $30 \times 15 \times 1.3 \text{ cm}^3 \times 4$ @ Side
- 角度分解能の向上

角度分解能の向上に向けて

ARM :

シンチレータのエネルギー分解能と
コンプトン点の空間分解能が制限



30X30X30cm³ ETCC current status

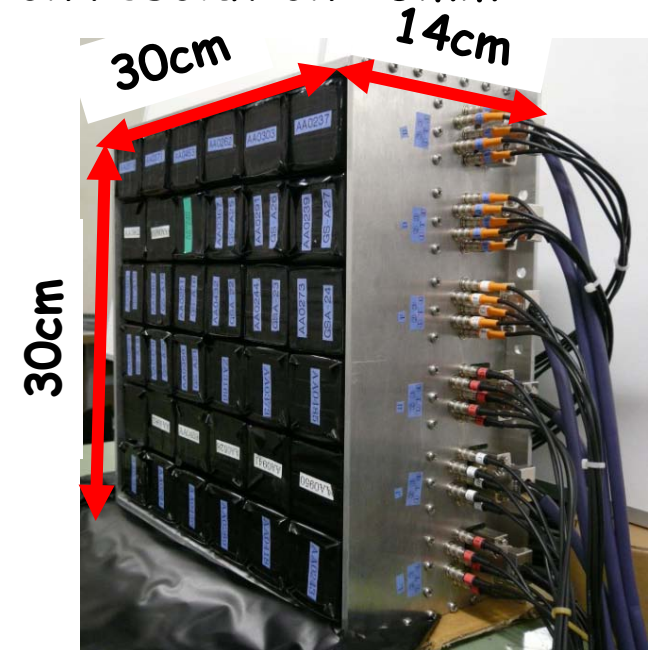
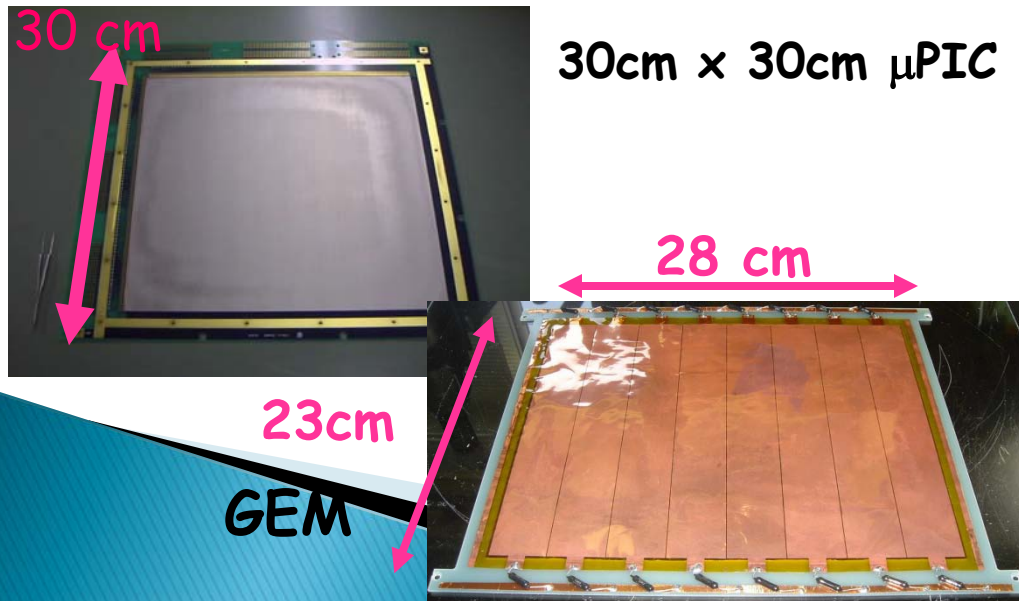
We are developing a larger ETCC based on the 30cm X30cmX30cm TPC and 6 x 6 scintillation cameras.

➤ Gaseous TPC

- volume : **30X30X30 cm³**
- gas : Ar 90% + C₂H₆10% (1atm)
- drift velocity : 4 cm/μsec
- gain : ~30000
- energy resolution : 46%@32keV
- position resolution: 400μm

➤ Scintillation Camera

- number of pixels : 2304 pixels
- Crystal : GSO(Ce)
- pixel size : 6X6X13mm³
- energy resolution : 10.9%
(@662keV, FWHM)
- position resolution : 6mm



30X30X30cm³ ETCC current status

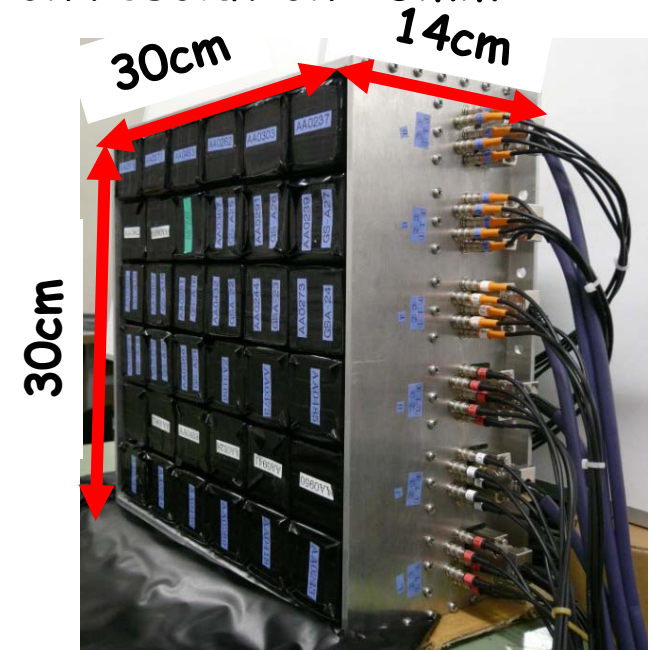
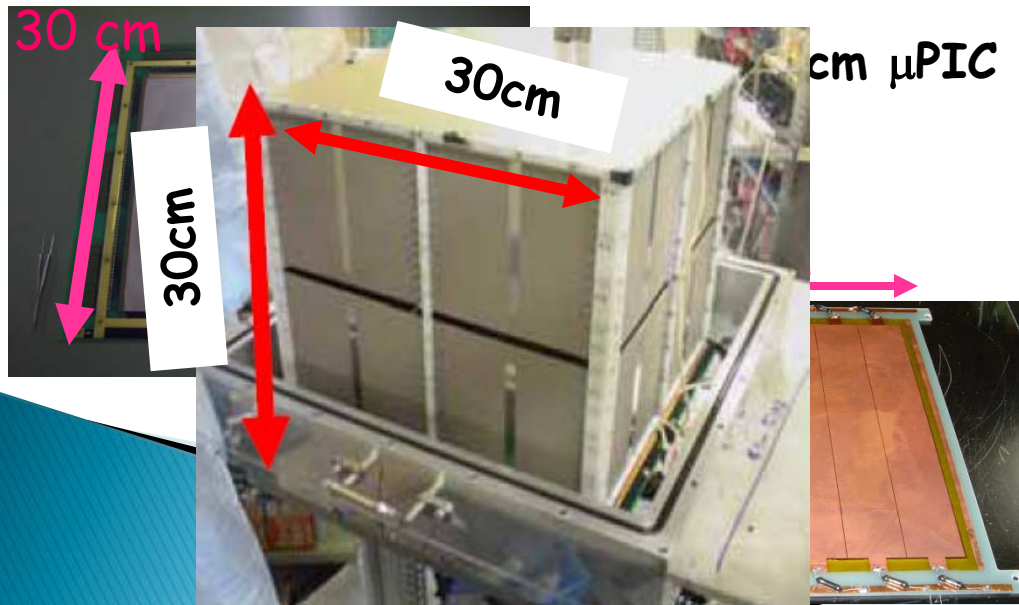
We are developing a larger ETCC based on the 30cm X30cmX30cm TPC and 6 x 6 scintillation cameras.

➤ Gaseous TPC

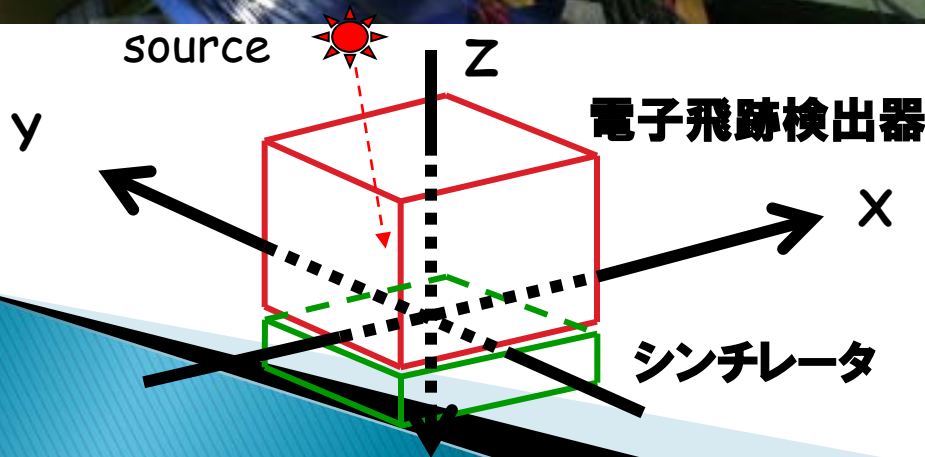
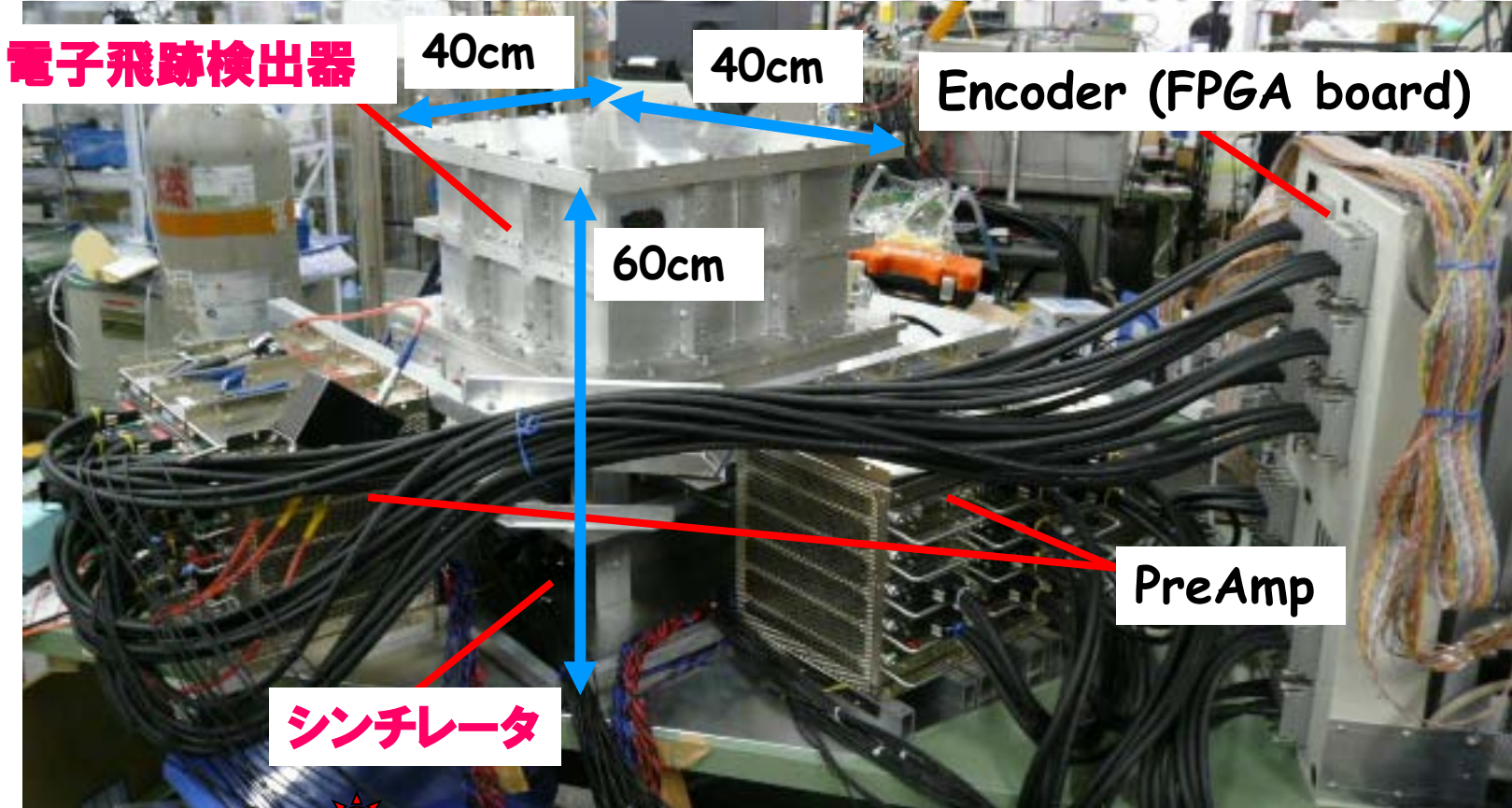
- volume : **30X30X30 cm³**
- gas : Ar 90% + C₂H₆10% (1atm)
- drift velocity : 4 cm/μsec
- gain : ~30000
- energy resolution : 46%@32keV
- position resolution: 400μm

➤ Scintillation Camera

- number of pixels : 2304 pixels
- Crystal : GSO(Ce)
- pixel size : 6X6X13mm³
- energy resolution : 10.9%
(@662keV, FWHM)
- position resolution : 6mm



30X30X30cm³ ETCC current status



Center of μ PIC : (0,0,0)

Center of Scinti.

:(-3.3, 0.2, 5.7)

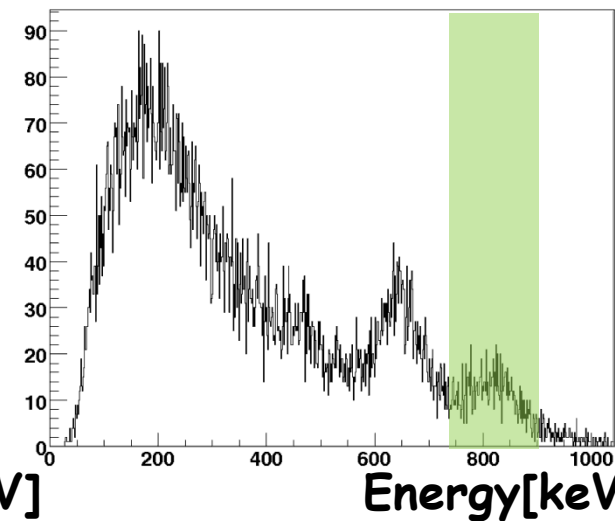
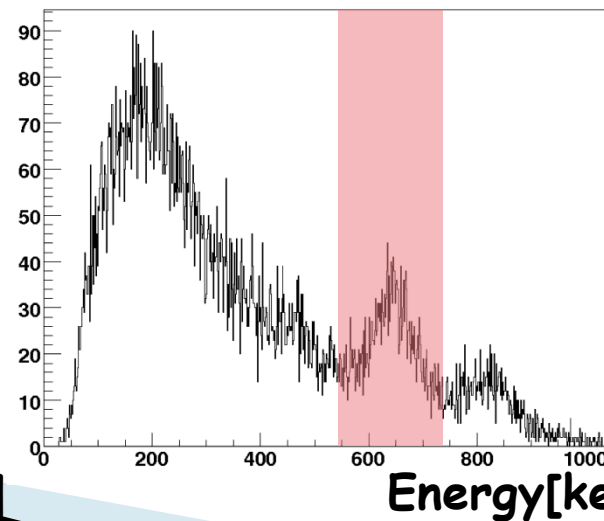
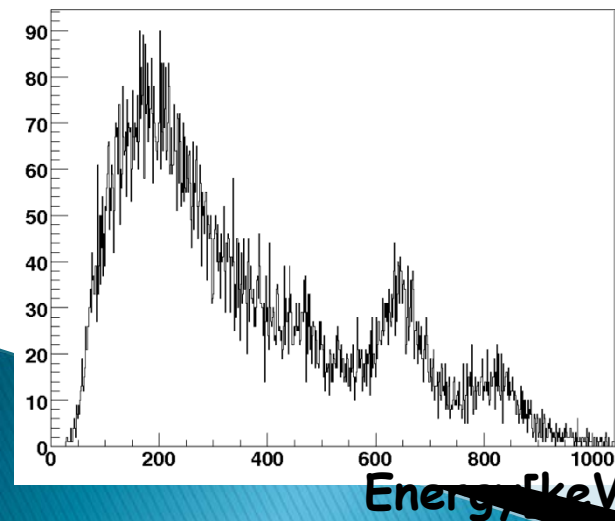
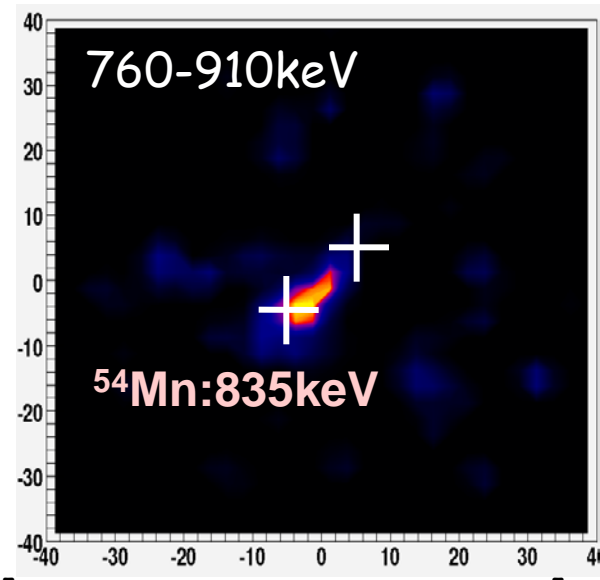
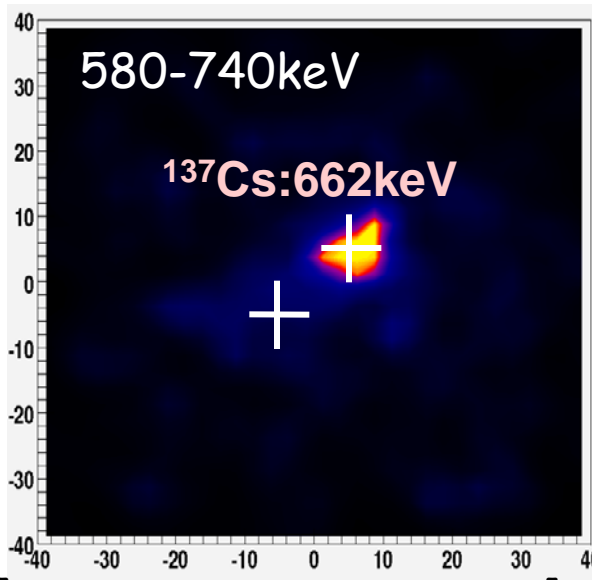
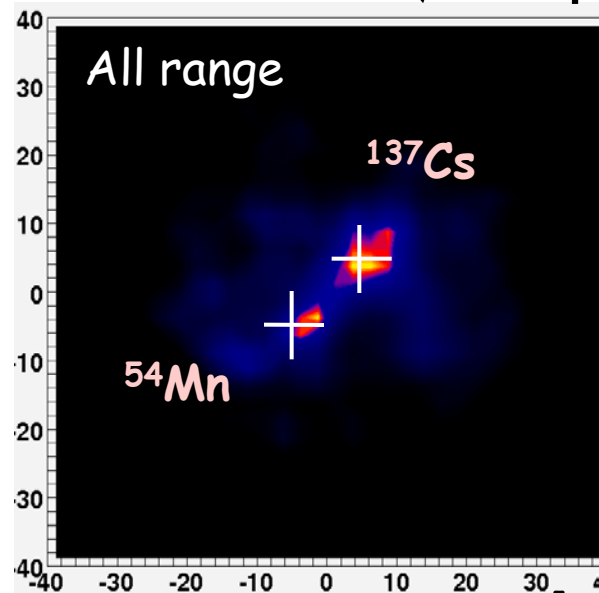
2 線源イメージング (preliminary)

^{137}Cs : 662keV, 1MBq (X,Y,Z) = (-5,-5,-58)

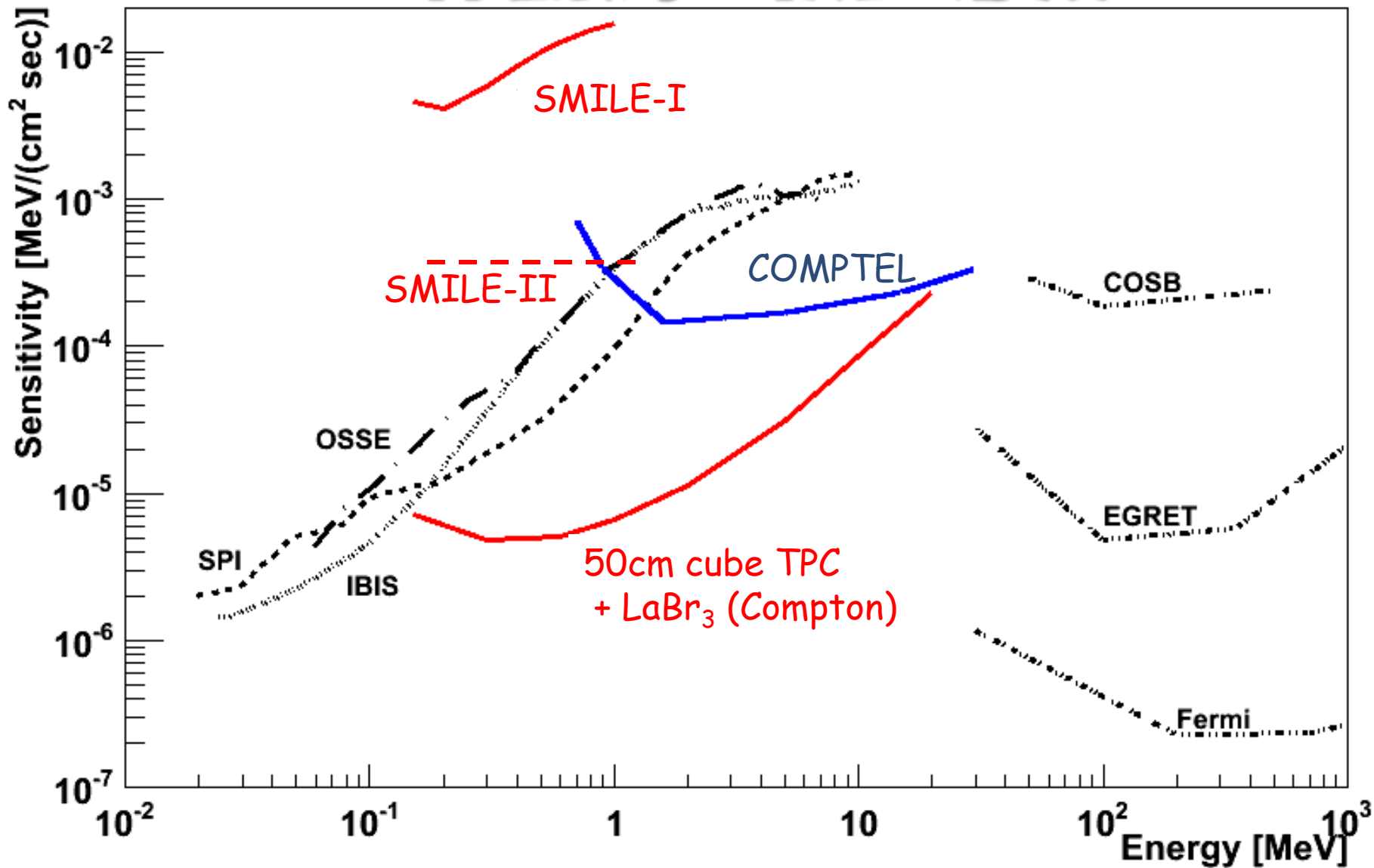
^{54}Mn : 835keV, 1MBq (X,Y,Z) = (5,5,-58)

ノイズレベル改善

感度補正+ML-EM法を適用



X/ガンマ線観測の検出感度



Summary

- 電子飛跡検出型コンプトンカメラを開発
- SMILE-Iの検出器
 - エネルギー分解能：~12% for 662keV @ FWHM
 - 検出効率：~ 2×10^{-4} for 356 keV
 - 視野：~3str
- 2006/9/1に三陸大気球観測所より放球(ISAS/JAXA).
- 7時間のフライト、内32-35 kmでのレベルフライト4時間
- 検出器は安定に動作
- 気球高度での電子飛跡検出型コンプトンカメラの動作は世界初
- フライトにより約2000個のガンマ線イベントを取得、
レベルフライトでの下向きガンマ線イベントは420個で
シミュレーションでの予測に合致
- 宇宙拡散/大気ガンマ線の観測を行い、過去の観測に矛盾しない結果を得た
- 気球高度において広い視野と強いバックグラウンド除去能力を実証
- 現在、次の気球実験において有効面積の拡大と角度分解能の向上を図っている
- 2006年の気球実験より、将来大面積の検出器を作れば、COMPTELの10倍の検出感度の達成が十分期待できることが判明